

**ВЛИЈАНИЕ НА Ni (II), Ca (II), Sn (II), Mn (II) И Pd (II) ВРЗ БРЗИНАТА  
НА РЕАКЦИЈАТА АЛКАЛНА ХИДРОЛИЗА НА ЕТИЛЕСТЕР НА  
ЦИСТЕИН**

**С. Петровска-Јовановиќ, Т. Тодоровски и М. Калшакџијан**

*Хемиски факултет, Универзитет „Кирил и Методиј“ — Скопје*

**И З В О Д**

Применувајќи ја интерферометриската метода, проучено е влијанието на неколку двовалентни јони на метали, врз степенот на алкалната хидролиза на етилестер на цистеин. Изнесен е механизмот на сложената реакција, која вклучува реакција од II ред, помеѓу металниот комплекс на  $\alpha$ -амино киселинскиот естер и OH— јоните.

Определен е концентрациониот интервал за катјоните Ni(II), Ca(II), Sn(II), Mn(II) и Pd(II), кој заради големата осетливост на методата, е од редот  $10^{-3}$  до  $10^{-10}$  мол дм $^{-3}$ .

Согледано е дека при исти концентрации на реактантите, односно на естер, натриум хидроксид и метален јон, различната брзина на реакцијата алкална хидролиза на етилестер на цистеин, катализирана со различни двовалентни јони, е резултат на координационата карактеристика на металниот јон, кој доведува до различна стабилност на образуваните комплекси.

**У В О Д**

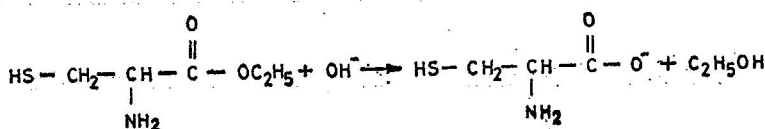
Комплексообразувањето со металните јони, битно влијае врз брзината на многу каталиитички реакции. Образувањето на комплекси, на метали, со учество на лиганди, во реакцијата доведува до прераспределба на електронската густина во молекулата и влијае врз промената на брзината на реакцијата.

Брзината на реакцијата алкална хидролиза на амино киселинските естери, во присуство на јони на метали, е резултат на градење на комплекси, каде што се јавува индуктивен ефект, односно поместување на електронската густина во комплексообразувачките групи (1).

Јоните на металот се сврзуваат со атомите на N, O и S односно амино, карбонилната или сулфхидрилната група на испитуваниот естер, при што се формираат пет или шестчленни прстени..

Во работите на Li со соработниците (2), било покажано дека јоните на Ni(II) и Cu(II) ја забрзуваат реакцијата на алкалната хидролиза на глицеринметилови те и цистенметилови естери, применувајќи ја методата на мерење на електро проводливоста.

Тихонова и Яацимирски (3,4) го проучуваат влијанието на јоните на Pb, Hg, Cd и Zn врз брзината на алкалната хидролиза на етилестерот на цистеинот која протекува по реакцијата:



Во текот на реакцијата се менува концентрацијата на хидроксилните јони, па следува дека брзината на реакцијата може да се следи со промена на pH на растворот, со тек на време.

Познато е дека кинетичките методи на анализа обилуваат со голема осетливост и точност, па во овој труд е прикажано дека со интерферометриската метода може да се определи концентрацискиот интервал за катјоните Ni(II), Ca(II), Sn(II), Mn(II), и Pd(II), кои претставуваат катализатори на испитуваната реакција. Посебно внимание е посветено на механизмот на реакцијата при промена на различните катализатори.

## Е К С П Е Р И М Е Н Т А Л Е Н Д Е Л

Катализичката активност на различните катјони е испитана при реакцијата алкална хидролиза на етилестер на цистеини. Притоа е користен L-cystein — aethylester — hidrochlorid производство на Fluka AG, Chemische Fabrik ,Buchs/Schweiz, со формула  $\text{C}_5\text{H}_{11}\text{NO}_2\text{S} \cdot \text{HCl}$ . Растворот на етилестер на цистеин со концентрација од  $2,595 \cdot 10^{-3}$  мол  $\text{dm}^{-3}$ , секогаш е приготвува непосредно пред експериментот, затоа што е подложен на хидролиза.

Основните раствори на  $\text{NiCl}_2$ ,  $\text{CaCl}_2$ ,  $\text{SnCl}_2$ ,  $\text{MnCl}_2$ ,  $\text{PdCl}_2$  (р.а. Мегск), се подготвувани со концентрација од  $1,0 \cdot 10^{-3}$  мол.  $\text{dm}^{-3}$ , и е извршена стандартизација по познати методи.

Растворот на натриум хидроксид е подготвен со концентрација од  $0,079998$  мол.  $\text{dm}^{-3}$ , а стандартизацијата е извршена волуметриски.

Имајќи ја предвид ниската концентрација на испитуваните супстанции, големо внимание е посветено на чистотата на реагенсите како и на дестилираната вода. Затоа употребената вода за приготвување на растворите и во текот на експериментирањата, е редестилирана во апаратура од кварцно стакло.

Како инструментална метода за следење на кинетиката на реакцијата е користена интерферометриската метода, која овозможува континуирано да се следат промените на испитуваниот систем, со текот на времето. Сите испитувања се вршени Zeizz-ов интерферометар (5), кој е адаптиран за да се овозможува следење на кинетиката на алкалната хидролиза на константна температура. Сите мерења се вршени на температура од  $298 \pm 0,1^\circ\text{K}$ .

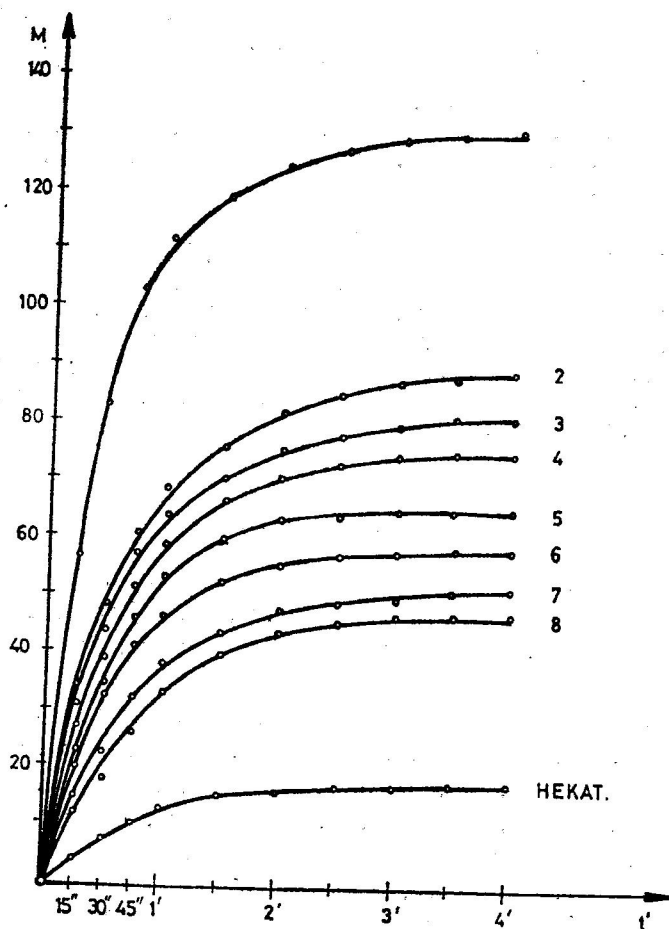
Процесот е следен во кивета од 40 мм, во која растворот е секогаш со константен волумен, односно се додава  $1,0 \text{ cm}^3$  раствор на етилестер на цистеин,  $0,5 \text{ cm}^3$  раствор на натриум хидроксид,  $1,0 \text{ cm}^3$  раствор од испитуваните катјони со најразлична концентрација и  $7,5 \text{ cm}^3$  редестилириана вода. Исто толкаво количество, односно  $10,0 \text{ cm}^3$  редестилириана вода е користена како референтен раствор. Мешањето на испитуваниот раствор се врши со електрична мешалка, со брзина од 100—120 вртења во минута.

## РЕЗУЛТАТИ И ДИСКУСИЈА

Регистрирајќи ги промените на вредноста на микрозавртката од интерферометарот, следена е брзината на реакцијата алкална хидролиза на етилестер на цистеин катализирана со јони на никел, при температура од  $298 \pm 0,1^\circ\text{K}$ . Добиените интерферометрски криви се прикажани на сликата 1-а, така што на ординатата се нанесени вредностите на микрозавртката, а на апсцисата, времето на одвивањето на реакцијата, при што се забележува дека јёните на никелот ја зголемуваат брзината на реакцијата алкална хидролиза на етилестер на цистеин. При изведувањето на експериментите, се забележува дека брзината на реакцијата е пропорционална со општата концентрација на никелот во растворот, ако концентрацијата се менува од  $1,0 \cdot 10^{-3}$  —  $1,0 \cdot 10^{-10}$  мол дм $^{-3}$ .

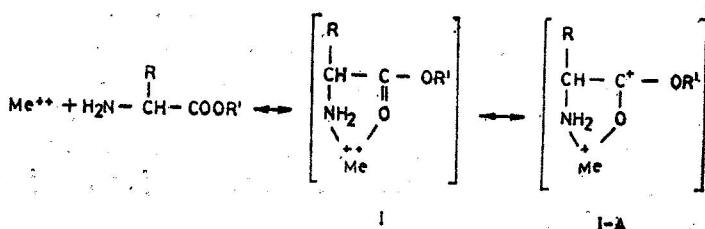
Всушност, испитуваната реакција не ја катализираат јоните на металите, во конкретниот случај јоните на никелот, туку зголемувањето на брзината произлегува за смртка на образувањето на никел етицистеинско соединение, кое полесно хидролизира одошто појдовниот естер.

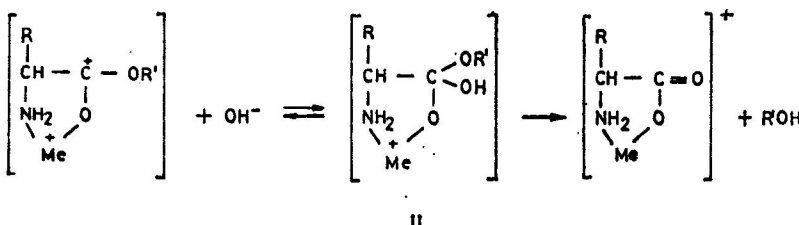
Според литературата (1), при хидролиза ан аминокиселински естери, во присуство на двовалентен јон на тежок метал, при образувањето на металестерски комплекс, се добива киселина (I и I-A), која има поголем афинитет кон OH— јоните, одошто слободниот аминокиселински естер. Продуктот (II) на оваа киселинско-базна неутрализација е нестабилен и подложен на брза декомпозиција на крајните продукти на реакцијата.



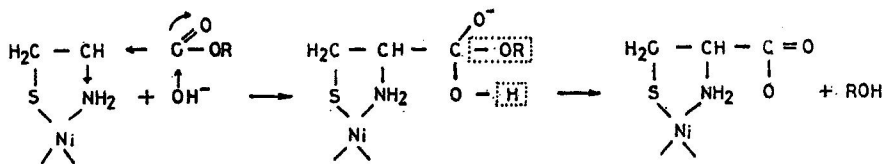
Слика 1. Инерферометрски кинетички криви на алкална хидролиза на етилестер на цистеин, катализирана со јони на никел

а) криви: 1 —  $1.0 \cdot 10^{-3}$  мол  $\text{dm}^{-3}$ ; 2 —  $1.0 \cdot 10^{-4}$  мол  $\text{dm}^{-3}$ ;  
 3 —  $1.0 \cdot 10^{-5}$  мол  $\text{dm}^{-3}$ ; 4 —  $1.0 \cdot 10^{-6}$  мол  $\text{dm}^{-3}$ ;  
 5 —  $1.0 \cdot 10^{-7}$  мол  $\text{dm}^{-3}$ ; 6 —  $1.0 \cdot 10^{-8}$  мол  $\text{dm}^{-3}$ ;  
 7 —  $1.0 \cdot 10^{-9}$  мол  $\text{dm}^{-3}$ ; 8 —  $1.0 \cdot 10^{-10}$  мол  $\text{dm}^{-3}$ ;





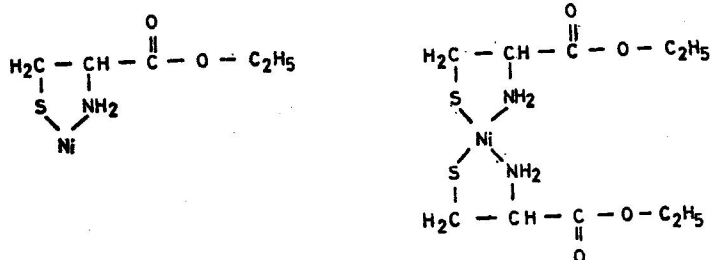
J. White со соработниците (2) применувајќи потенциометриска и поларографска метода, ги разгледувале комплексите на Ni(II) и Cu(II) со аминокиселински кои содржат S, односно со цистеин, глицини естри на цистеинот. Тие покажале дека при комплексирање на јонот на никелот со етилестер на цистеин, односно при добивање на хелати, преовладува поврзувањето на јонот на никелот за амино и сулфхидрилната група, а механизмот е следниот:

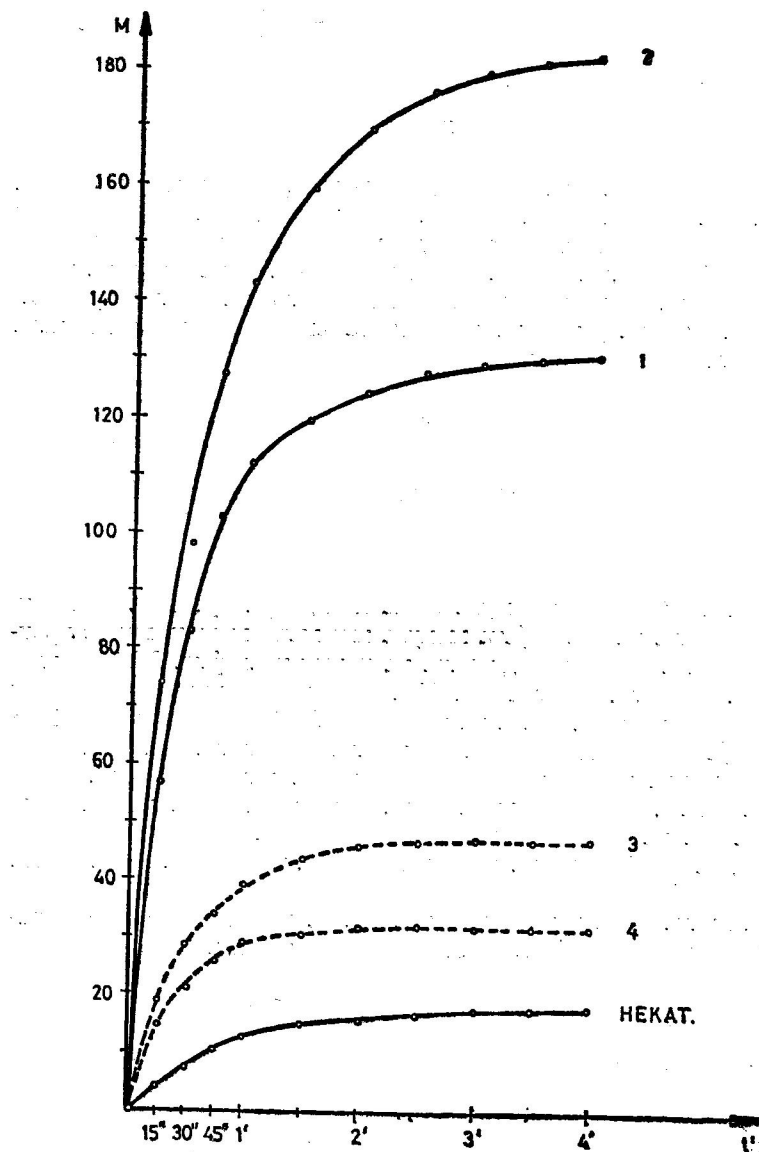


При натамошното зголемување на концентрацијата на никелот, слика 1-б, брзината на реакцијата минува низ максимумот, што е представено со кривата 2, и што одговара на концентрацијата  $3,0 \cdot 10^{-3}$  мол дм $^{-3}$ , а потоа брзината се намалува. Тоа се интерферометриските криви 3 и 4, каде што концентрацијата на никелот е  $5,0 \cdot 10^{-3}$ , односно  $7,0 \cdot 10^{-3}$  мол дм $^{-3}$ , која веќе се доближува до некатализираната реакција.

Експериментално добиените резултати за намалување на брзината на реакцијата при зголемување на концентрацијата на никелот, за концентрација на етилестер на цистеин од  $2,595 \cdot 10^{-3}$  мол дм $^{-3}$ , се објаснува со два етилицистеиннатни комплекси на никелот, а со различна реакциона способност.

Во дадената област на концентрација за никел и естер се образуваат комплексите  $NiL$  и  $NiL_2$ , каде  $L$ - етилицистеиннат:

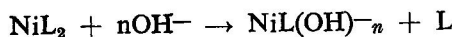




б) криогт: 1 —  $1,0 \cdot 10^{-3}$  мол дм $^{-3}$ ; 2 —  $3,0 \cdot 10^{-3}$  мол дм $^{-3}$ ;  
3 —  $5,0 \cdot 10^{-3}$  мол дм $^{-3}$ ; 4 —  $7,0 \cdot 10^{-3}$  мол дм $^{-3}$

Во првиот комплекс, јонот на никелот е координационо незаситен, па затоа во алкална средина може да образува мешани хидроксо-етилцистеински комплекси од типот  $\text{NiL}(\text{OH})_n$ , кои кај алкалната хидролиза бавно реагираат.

Во областа на концентрацијата на никелот од  $1,0 \cdot 10^{-3}$  —  $3,0 \cdot 10^{-3}$  мол дм $^{-3}$ , најверојатно доаѓа до создавање на комплекси во кои лиган-дот реактивно е поспособен. При зголемување на концентрациите на база, можно е разрушување на комплексот и образување на хидроксо-комплекс:



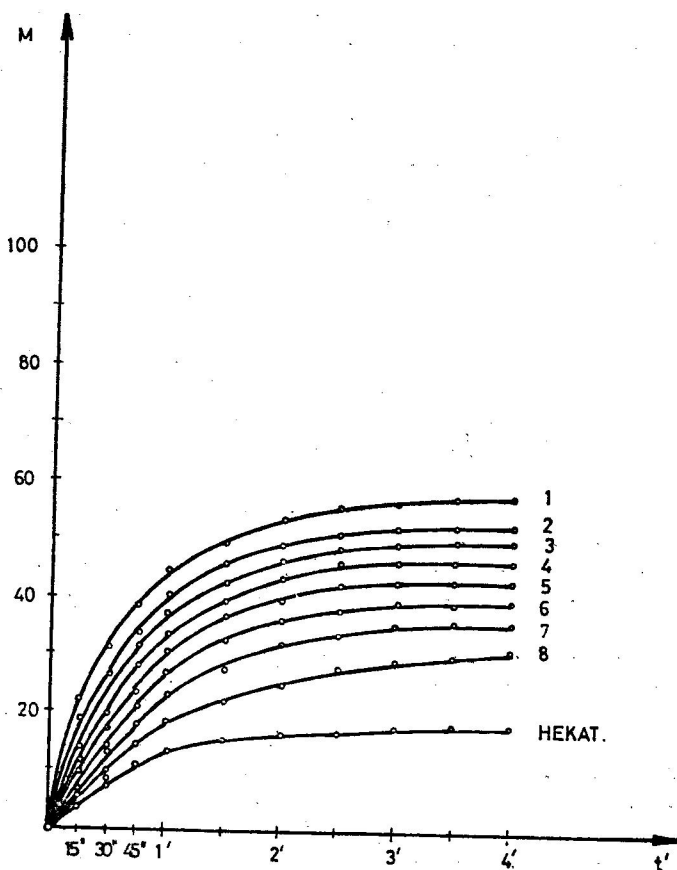
Ако се претпостави дека образувањето на  $\text{NiL}(\text{OH})_n$  не доведува до зголемување на брзината на реакцијата алкална хидролиза на етил-естер на цистеин, тогаш зголемувањето на концентрацијата на базата, до одредена вредност, ја зголемува брзината на реакцијата, а потоа ја намалува.

Со индиректно потврдување на фактот, дека комплексот  $\text{NiL}_2$  при алкалната хидролиза, се јавува како реакционо поспособен, следува зависноста на брзината на реакцијата од концентрацијата на естерот. Максимумот на брзината се достигнува при однос на концентрации на никел и естер во раствор 1 : 2. Останува, донекаде, нејасно опаѓањето на брзината на реакцијата при натамошното зголемување на концен-трацијата на естерот. Оваа пак, од своја страна може да биде сврзано со образувањето на комплекси со координационен број поголем од 2.

Од оскудните литературни податоци за влијанието на Са јон како катализатор, на реакцијата алкална хидролиза на етилестер на цистеин, да го посочиме испитувањето на Kroll (1) од сличната област Проучувајќи го ефектот на неколку двовалентни метални јони, при реакцијата на хидролиза на глицинометилестер, констатирал дека Са јонот формира нестабилни комплекси, па, според тоа, не влијае врз брзината на хидролизата. Да истакнеме дека Kroll хидролитичкиот процес го следел со титрирање на пробите во интервал од 10 минути, користејќи pH-метар и стаклени електроди при pH 7,5 — 8,5.

При нашите експериментирања, пременувајќи ја големата осетли-вост на интерферометристката метода, која ги следи промени на индекси на рефракции што настануваат во испитуваниот систем, покажавме дека Са јон, иако слабо, сепак влијае врз степенот на алкалната хидро-лизи на етилестер на цистеин. Од прикажаните интерферометристки криви на сл. 2-а и сл-2-б, се гледа дека најголема брзина реакцијата постигнува кога концентрацијата на  $\text{Ca}(\text{II})$  јон е  $3,0 \cdot 10^{-3}$  мол дм $^{-3}$ , а потоа со зголемување на концентрацијата, брзината опаѓа. Најниска концентрација на Са јон која се уште влијае врз брзината на хидроли-зата е  $1,0 \cdot 10^{-3}$  мол дм $^{-3}$ .

При хидролизата на аминокиселинскиот естер, истовремено се случуваат повеќе реакции, како што е претходно објаснето, меѓу кои и таква, која води до ихибиција на естерската хидролиза. Амино

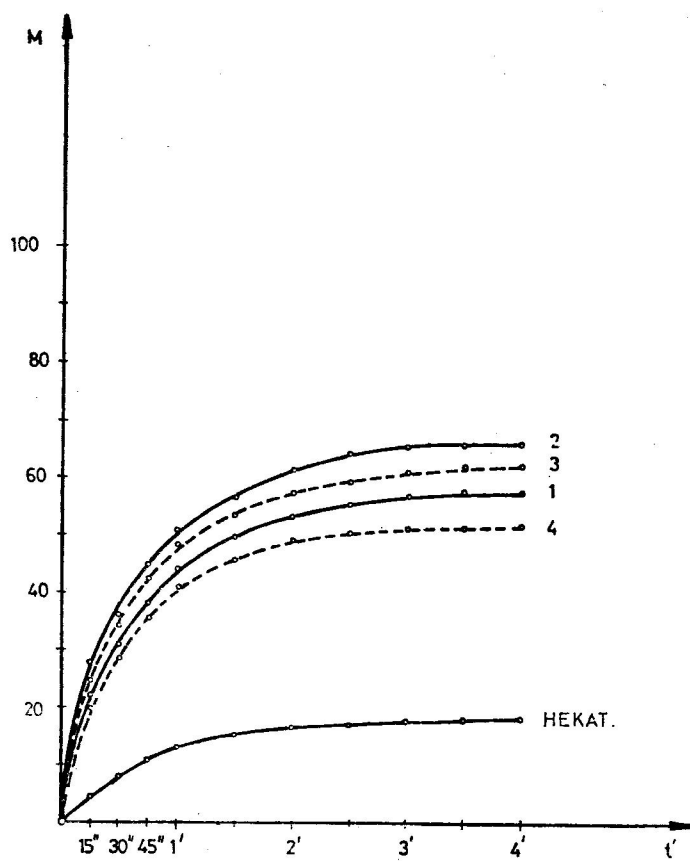


Слика 2. Интерферометрички кинетички криви на алкална хидролиза на етилестер на цистеин, катализирана со јони на калциум

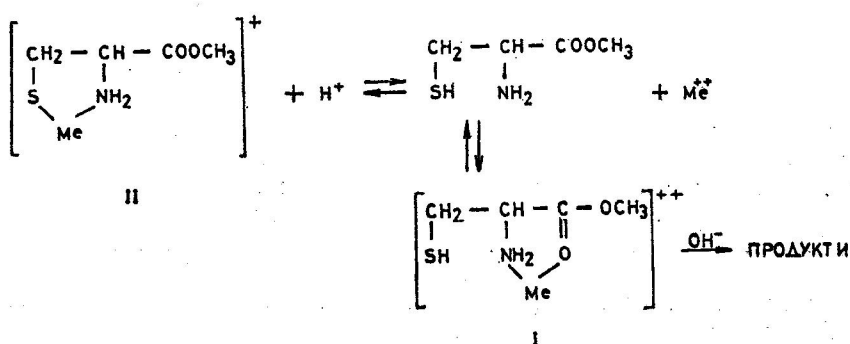
- а) криви: 1 —  $1,0 \cdot 10^{-3}$  мол  $\text{dm}^{-3}$ ; 2 —  $1,0 \cdot 10^{-4}$  мол  $\text{dm}^{-3}$ ;  
 3 —  $1,0 \cdot 10^{-5}$  мол  $\text{dm}^{-3}$ ; 4 —  $1,0 \cdot 10^{-6}$  мол  $\text{dm}^{-3}$ ;  
 5 —  $1,0 \cdot 10^{-7}$  мол  $\text{dm}^{-3}$ ; 6 —  $1,0 \cdot 10^{-8}$  мол  $\text{dm}^{-3}$ ;  
 7 —  $1,0 \cdot 10^{-9}$  мол  $\text{dm}^{-3}$ ; 8 —  $1,0 \cdot 10^{-10}$  мол  $\text{dm}^{-3}$ ;

киселата естерска молекула содржи покрај  $\alpha$ -амино групата и силф-хидрилна група, кои се надметнуваат за металниот јон, па се добива конкурент на реакцијата, со што се редуцира концентрацијата на комплексот при хидролизата.

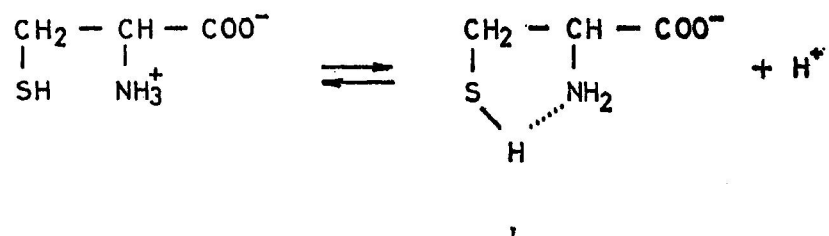
Тоа доаѓа поради големиот афинитет на силфхидрилната група кон металниот јон, кои се сврзуваат во цикличен прстен и се образува комплексно соединение (I), што е мошне постабилно, отколку комплексното соединение (II), што се образува при хидролизата:



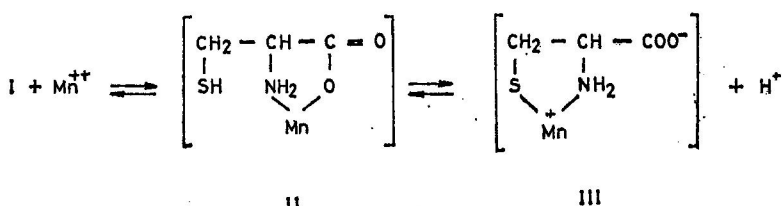
б) кривы, 1 —  $1,0 \cdot 10^{-3}$  мол дм $^{-3}$ ; 2 —  $3,0 \cdot 10^{-3}$  мол дм $^{-3}$ ;  
3 —  $5,0 \cdot 10^{-3}$  мол дм $^{-3}$ ; 4 —  $7,0 \cdot 10^{-3}$  мол. дм $^{-3}$



Разгледувајќи ги мanganовите комплекси со различни аминокиселини, Kroll претпоставил дека при дисоцијација на цистеин настапува интеракција помеѓу водородот од SH групата и амќно групата.

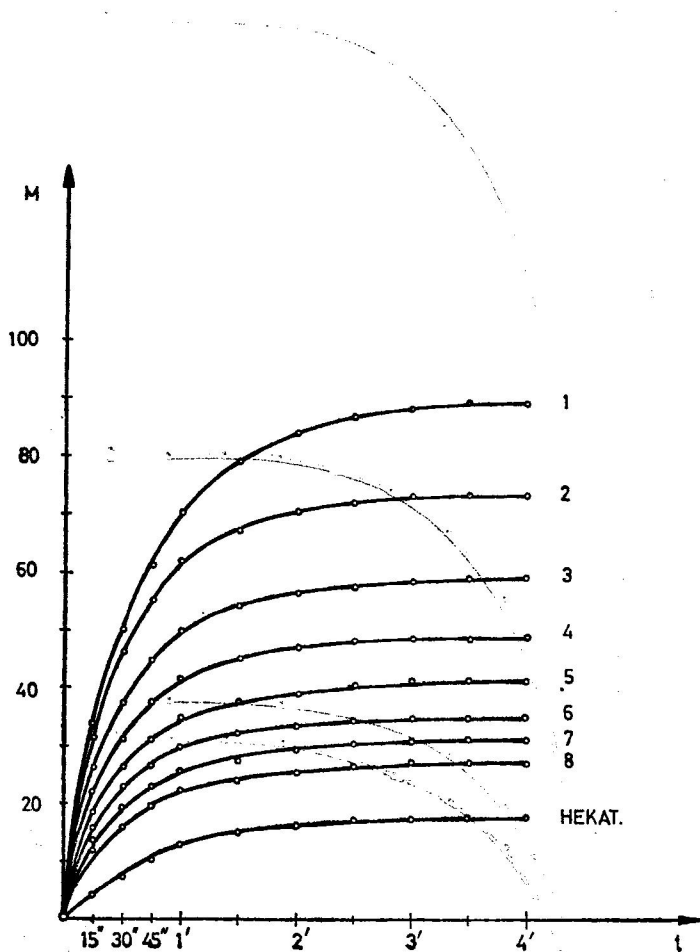


Заради ова, SH, и амќно група се во директна конкуренција при формирањето на комплекси на мanganот со аминокиселините кои ги содржат двете групи.



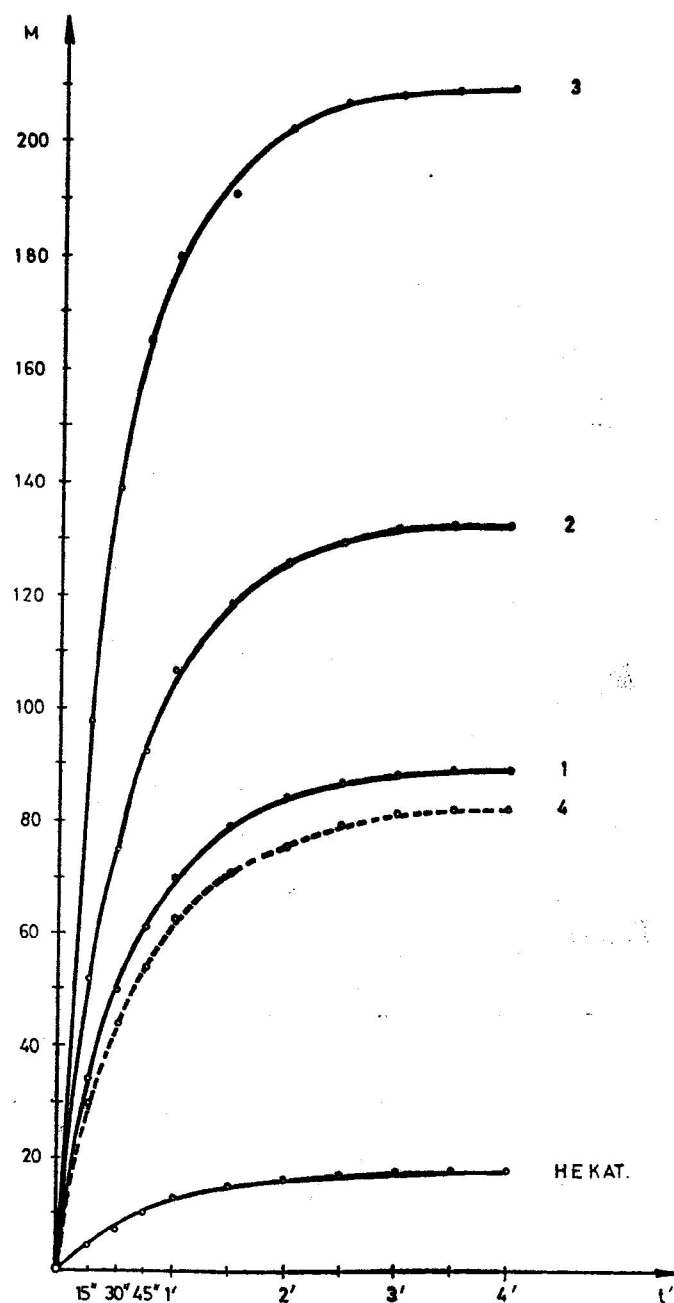
Применувајќи различни концентрации на мanganовиот јон како катализатор, при реакцијата алкална хидролиза на етилестер на цистеин, при нашите определувања добиени се инерферометриски кинетички криви, кои се дадени на сл. 3-а и сл. 3-б. Највиоско е поставена кривата 3 на сл. 3-б, која се однесува на концентрација на мanganови јони  $5,0 \cdot 10^{-3}$  мол  $\text{dm}^{-3}$ . Со натамошно зголемување на концентрацијата на катализаторот, брзината на реакцијата се намалува, што на дијаграмот е прикажано со кривта 4, која одговара на концентрација  $7,0 \cdot 10^{-3}$  мол  $\text{dm}^{-3}$ . Ваквата промена на брзината секак има објаснување во оваа сложена реакција, што детално е објснета кај никелот.

И калајниот јон влијае врз брзината на алкалната хидролиза на етилестер на цистеин. Резултатите од тие испитувања се прикажани со типичните инерферометриски криви на сл. 4-а и сл. 4-б. Се забележува дека со намалување на концентрацијата на калајот, кинетичките криви постепено се доближуваат до кривата на некатализираната реакција. Максимална брзина на хидролиза при испитуваната реакција се постигнува при концентрација  $1,0 \cdot 10^{-3}$  мол  $\text{dm}^{-3}$ . Со зголемување на концентрацијата на калајот во реакцијата доаѓа до промени, како и кај претходно разгледуваните катјони.

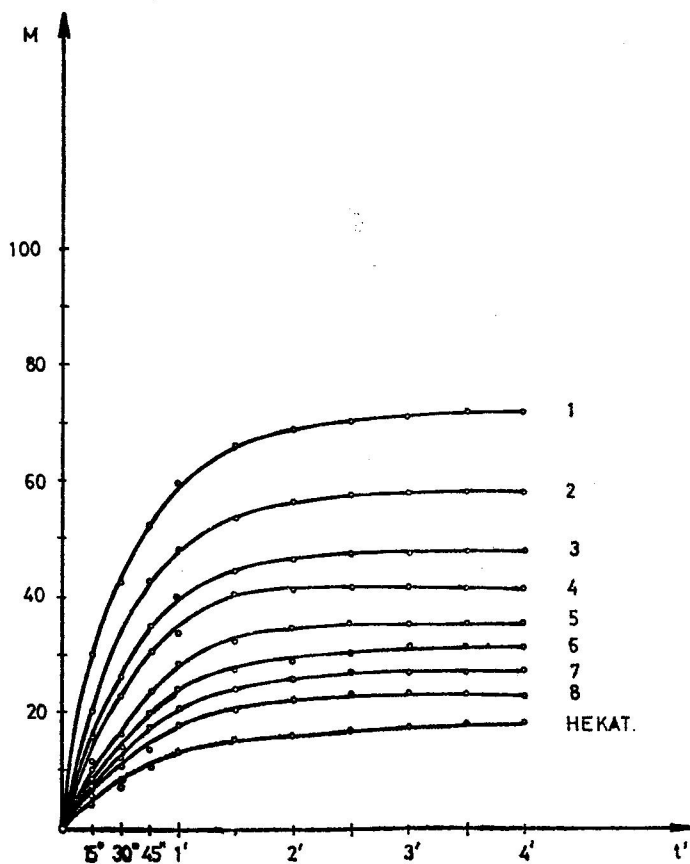


Слика 3. Интерферометрски кинетички криви на алкална хидролиза на етилестер на цистеин, катализирана со јони на манган

а) криви: 1 —  $1,0 \cdot 10^{-3}$  мол  $\text{dm}^{-3}$ ; 2 —  $1,0 \cdot 10^{-4}$  мол  $\text{dm}^{-3}$ ;  
 3 —  $1,0 \cdot 10^{-5}$  мол  $\text{dm}^{-3}$ ; 4 —  $1,0 \cdot 10^{-6}$  мол  $\text{dm}^{-3}$ ;  
 5 —  $1,0 \cdot 10^{-7}$  мол  $\text{dm}^{-3}$ ; 6 —  $1,0 \cdot 10^{-8}$  мол  $\text{dm}^{-3}$ ;  
 7 —  $1,0 \cdot 10^{-9}$  мол  $\text{dm}^{-3}$ ; 8 —  $1,0 \cdot 10^{-10}$  мол  $\text{dm}^{-3}$ ;

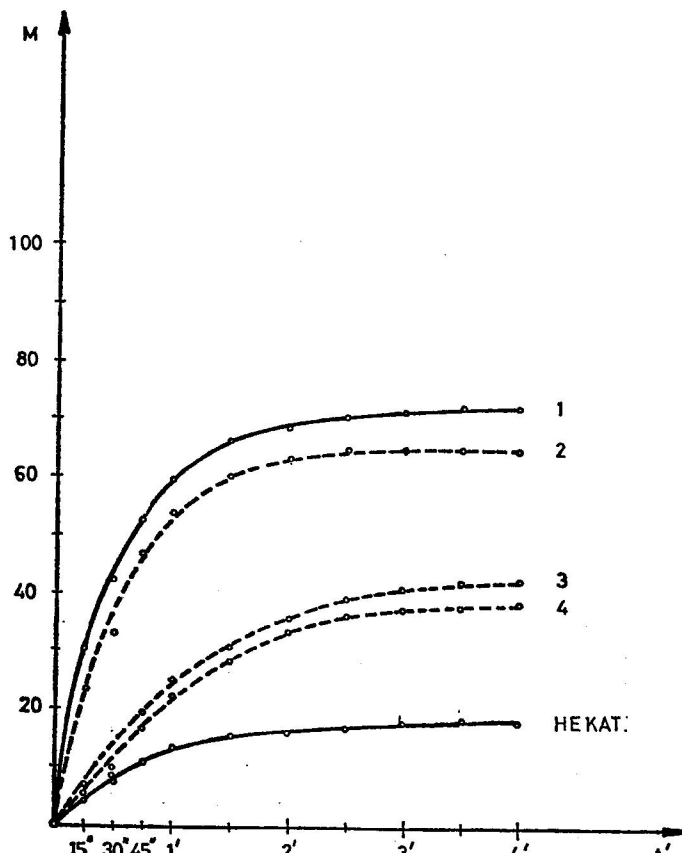


б) криви: 1 —  $1,0 \cdot 10^{-3}$  мол дм $^{-3}$ ; 2 —  $3,0 \cdot 10^{-3}$  мол дм $^{-3}$ ;  
 3 —  $5,0 \cdot 10^{-3}$  мол дм $^{-3}$ ; 4 —  $7,0 \cdot 10^{-3}$  мол дм $^{-3}$



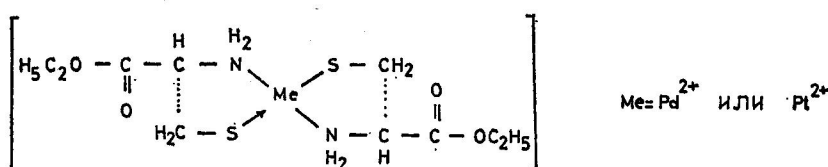
Слика 4. Интерферометрски кинетички криви на алкална хидролиза на етилестер на цистеин, катализирана со јони на калај

a) криви: 1 —  $1,0 \cdot 10^{-3}$  мол  $\text{dm}^{-3}$ ; 2 —  $1,0 \cdot 10^{-4}$  мол  $\text{dm}^{-3}$ ;  
 3 —  $1,0 \cdot 10^{-5}$  мол  $\text{dm}^{-3}$ ; 4 —  $1,0 \cdot 10^{-6}$  мол  $\text{dm}^{-3}$ ;  
 5 —  $1,0 \cdot 10^{-7}$  мол  $\text{dm}^{-3}$ ; 6 —  $1,0 \cdot 10^{-8}$  мол  $\text{dm}^{-3}$ ;  
 7 —  $1,0 \cdot 10^{-9}$  мол  $\text{dm}^{-3}$ ; 8 —  $1,0 \cdot 10^{-10}$  мол  $\text{dm}^{-3}$ ;



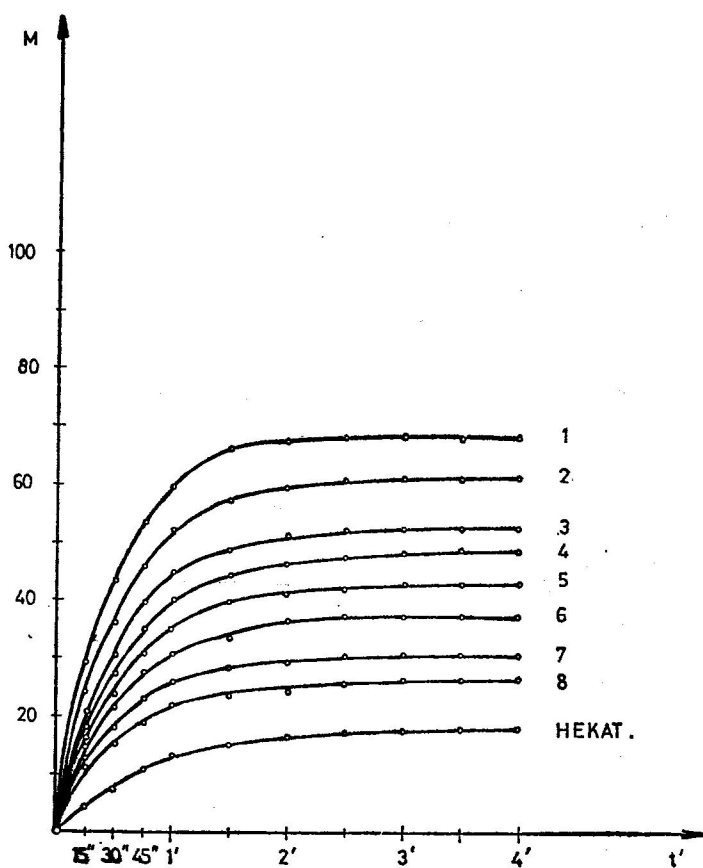
б) криви: 1 —  $1,0 \cdot 10^{-3}$  мол дм $^{-3}$ ; 2 —  $3,0 \cdot 10^{-3}$  мол дм $^{-3}$ ;  
3 —  $5,0 \cdot 10^{-3}$  мол дм $^{-3}$ ; 4 —  $7,0 \cdot 10^{-3}$  мол дм $^{-3}$

M. Chandrasenharan и соработнишите (6) ги снимале нифракционите спектри на етил цистеинатните комплекси на двовалентен паладиум и платина, со цел да добијат податоци за местото на сврзување на металот. Тие ја даваат следнава структурна формула:



Интересно е да се истакне дека при различни концентрации на пооддалните компоненти се испитани комплексите на цистеин и цистеин метилестер со Pd(II) и Pt(II) (7), а врз база на снимените спектри предложени се повеќе структури.

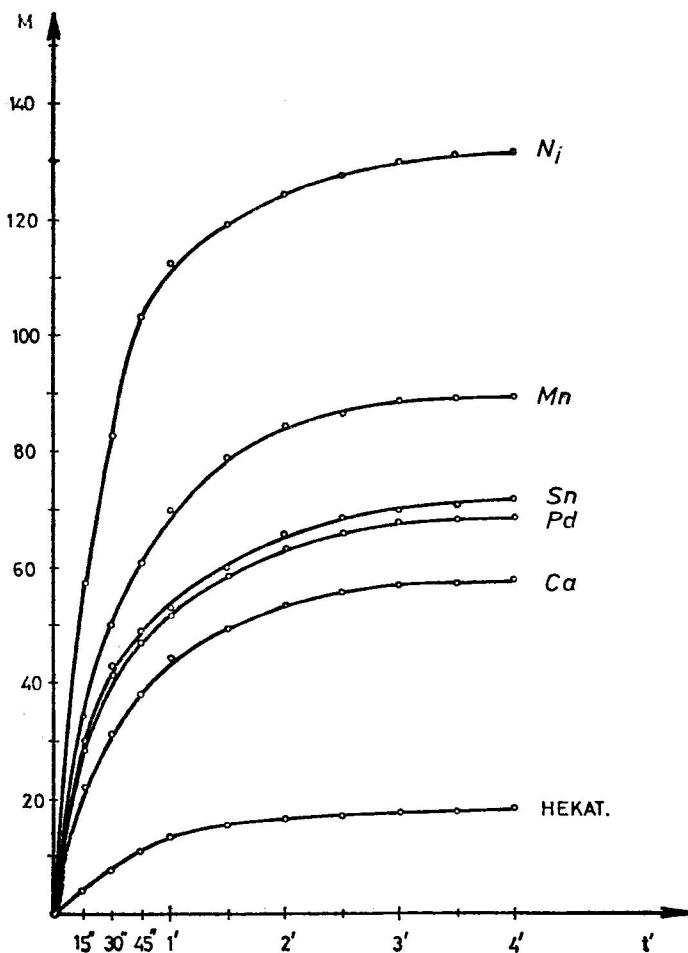
Кинетичките криви од нашите експериментирања за Pd (II) како катализатор на испитуваната реакција се дадени на сл. 5. Се забележува дека највисока концентрација на Pd (II) при која може интерферометриски да се следи брзина на хидролизата е  $1,0 \cdot 10^{-3}$  мол  $\text{dm}^{-3}$ . При повисоки концентрации, настанува заматување на растворот, па во тие случаи не може да се следат промените на индексите на рефракцијата во системот.



Слика 5: Интерферометрички кинетички криви на алкална хидролиза на етилестер на цистеин, катализирана со јони на паладиум

- a) криви: 1 —  $1,0 \cdot 10^{-3}$  мол  $\text{dm}^{-3}$ ; 2 —  $1,0 \cdot 10^{-4}$  мол  $\text{dm}^{-3}$ ;  
 3 —  $1,0 \cdot 10^{-5}$  мол  $\text{dm}^{-3}$ ; 4 —  $1,0 \cdot 10^{-6}$  мол  $\text{dm}^{-3}$ ;  
 5 —  $1,0 \cdot 10^{-7}$  мол  $\text{dm}^{-3}$ ; 6 —  $1,0 \cdot 10^{-8}$  мол  $\text{dm}^{-3}$ ;  
 7 —  $1,0 \cdot 10^{-9}$  мол  $\text{dm}^{-3}$ ; 8 —  $1,0 \cdot 10^{-10}$  мол  $\text{dm}^{-3}$ ;

Со оглед на тоа што сите испитувани дъзвалектни катјони се со ист анјон, сдносно сите се хлориди, можно е да се изврши споредување, за да се согледа кој катализатор колку влијае врз брzinата на алкалните хидролизи на етилестеретот на цистеин. За таа цел кинетичките криви, кои одговараат на иста концентрација на различните катјони, односно  $1,0 \cdot 10^{-3}$  мол  $\text{dm}^{-3}$ , при исти концентрации на другите реакценти, се прикажани на сл. 6. Јасно се забележува дека  $\text{Ni}^{(II)}$  е најсилен катализатор при испитуваната реакција, во сднос на останатите катјони кои се разгледувани. Потоа следуваат  $\text{Mn}^{(II)}$ ,  $\text{Sn}^{(II)}$ ,  $\text{Pd}^{(II)}$  а како нај slab катализатор се покажа  $\text{Ca}$ -јонот.



Слика 6: Влијание на различни метални јони на алкална хидролиза на етилестер на цистеин

Овде секако големо влијание има природата на централниот атом, врз различната фреквенција на вибрациите во карбоксилната група, јакоста на врската метал-амино групата, потоа енергијата на јонизација, како резултат на што се јавува различна тенденција на комплексирање на металниот јон, односно различна стабилност на формиралите етилцистеинатни комплекси.

#### Л И Т Е Р А Т У Р А

1. H. Kroll, J. Amer. Chem. Soc., 74, 2036 (1952).
2. N. C. Li, J. M. White, R. L. Manning, J. Amer. Chem. Soc., 78, 2367 (1956).
3. Л. П. Тихонова, К. Б. Яцимирски, Ж. неорг. хим., 11,2259 (1966).
4. К. Б. Яцимирски, Л. П. Тихонова, Ж. неорг. хим., 9, 2070 (1965).
5. С. Петровска-Јовановиќ, Магистерска работа, Т. М. Ф. — Скопје (1977).
6. M. Chandrasehnaran, M. R. Udupa, G. Aravamudan, J. Inorg. Nucl. Chem., Vol. 36/6, 1417 (1974).
7. G. Pheumantikakis, N, Hadjiliadis, J. Inorg. Nucl. Chem., Vol 41, 429, (1979).

#### THE INFLUENCE OF Ni(II), Ca(II) Sn(II) Mn(II) and Pb (II) ON THE REACTION KINETICS FOR ALKALY HIDROLYSIS OF CYSTEIN ETHYL ESTER

S. Petrovska-Jovanović, T. Todorovski i M. Kalpakdžijan

*Faculty of Chemistry, University „Kiril and Metodij“ — Skopje*

#### S U M M A R Y

Interferometric metod is aplied for determination of influence of some two valence metal ions to the degree of alkaly hidrolysis of cystein ethyl ester.

The mechanism of the complex reaction is discussed. The reaction between metal complex of  $\alpha$  — amino acide ester and OH — ion is of second order. Concentration interval for the cations Ni (II), Ca (II), Sn (II), Mn (II) and Pd (II) is determined.

Because this metod is very sensitive, concentration interval is of the order  $10^{-3}$  —  $10^{-10}$  moldm $^{-3}$ .